

УДК 539.3

## РОЗРАХУНОК ОСЕСИМЕТРИЧНОГО НАПРУЖЕНО-ДЕФОРМОВАНОГО СТАНУ ДВОШАРОВОГО ЦИЛІНДРА ПІД ДІЄЮ ЛОКАЛЬНИХ НАВАНТАЖЕНЬ

В. П. РЕВЕНКО

*Інститут прикладних проблем механіки і математики ім. Я. С. Підстригача НАН України, Львів*

Запропоновано аналітично-числовий метод розв'язання осесиметричних крайових задач теорії пружності для двошарових циліндричних тіл за допомогою однорідних розв'язків. Компоненти вектора переміщень і тензора напружень подано у вигляді рядів, коефіцієнти яких визначають побудовані власні функції. Розроблено комп'ютерну методику розв'язання крайових задач для двошарового циліндра. Знайдені критерії, за виконання яких побудований розв'язок збігається з точним. Описані якісні та кількісні закономірності поведінки компонент напружено-деформованого стану двошарового циліндра під час дії локальних навантажень із чітко вираженим максимумом.

**Ключові слова:** *власні функції, двошаровий циліндр, осесиметричний напружений стан, тензор напружень.*

Багатошарові пружні циліндри, зокрема двошарові, – поширені елементи будівельних та інженерних конструкцій. Вивчено [1, 2] деякі навантаження багатошарових ортотропних та ізотропних циліндрів, коли їх напружений стан не залежить від осьової змінної, а в праці [3] – коли залежить. Отримано [2] деякі розв'язки для багатошарового циліндра за виконання умов ідеального контакту шарів. Розроблено [4] метод розрахунку тривимірного напруженого стану двошарових пружних циліндричних тіл. Огляд праць про розв'язування задач для багатошарових циліндрів, напружено-деформований стан яких залежить тільки від однієї просторової змінної, наведено у публікаціях [1–3], а з урахуванням динамічних ефектів – у працях [5, 6].

**Формулювання задачі і подання розв'язку.** Розрахуємо [4] осесиметричний напружений стан двошарового циліндра, який має шари  $D_j = \{(r, \varphi, z) \in ([R_{j-1}, R_j] \times [0, 2\pi] \times [-h, h])\}$  з різними модулями Юнга і коефіцієнтами Пуассона  $E_j, \nu_j, j = \overline{1, 2}$ , де  $R_0 = 0$ . До його бічної поверхні прикладені навантаження

$$\sigma_r^2(R_2, z) = \sigma_1(z), \quad \tau_{rz}^2(R_2, z) = \tau_1(z), \quad (1)$$

де  $\sigma_1(-z) = \sigma_1(z), \tau_1(-z) = -\tau_1(z)$  – відомі функції. Торці шарів циліндра ненавантажені:

$$\sigma_z^j(r, \pm h) = 0, \quad \tau_{rz}^j(r, \pm h) = 0, \quad j = \overline{1, 2}. \quad (2)$$

На циліндричній поверхні з'єднання шарів виконуються умови ідеального контакту:

$$\sigma_r^2 = \sigma_r^1, \quad \tau_{rz}^2 = \tau_{rz}^1, \quad r = R_1, \quad (3)$$

$$u_r^2 = u_r^1, \quad u_z^2 = u_z^1, \quad r = R_1. \quad (4)$$

Для визначення пружних переміщень  $u_r^j, u_z^j$  в  $j$ -му шарі у циліндричній системі координат використаємо загальний розв'язок рівнянь Ляме [4, 7], який тут має вигляд

$$u_r^j = \frac{\partial P_j}{\partial r}, \quad u_z^j = \frac{\partial P_j}{\partial z} - 4(1-\nu_j)\Phi_j, \quad (5)$$

де  $P_j = z\Phi_j + \Psi_j$ , а  $\Phi_j(r, z)$ ,  $\Psi_j(r, z)$  – незалежні гармонічні функції, які названо функціями переміщень шарів циліндра.

За поданням переміщень (5) і законом Гука [8] знайдемо нормальні та дотичні напруження:

$$\begin{aligned} \sigma_r^j &= 2G_j \left[ \frac{\partial^2 P_j}{\partial r^2} - 2\nu_j \frac{\partial \Phi_j}{\partial z} \right], & \sigma_z^j &= 2G_j \left[ \frac{\partial^2 P_j}{\partial z^2} - 2(2-\nu_j) \frac{\partial \Phi_j}{\partial z} \right], \\ \sigma_\phi^j &= 2G_j \left[ \frac{1}{r} \frac{\partial P_j}{\partial r} - 2\nu_j \frac{\partial \Phi_j}{\partial z} \right], & \tau_{rz}^j &= 2G_j \left[ \frac{\partial^2 P_j}{\partial z \partial r} - 2(1-\nu_j) \frac{\partial \Phi_j}{\partial r} \right], \end{aligned} \quad (6)$$

де  $G_j$  – модулі зсуву.

Розроблений раніше [4] аналітично-числовий алгоритм побудови власних функцій (однорідних розв'язків) для шарів товстостінного циліндра, напруження від яких задовольняють крайові умови (2) на торцях, використаємо для побудови функції переміщень у шарах, які визначають ненульові  $\mu_k$  і нульові власні значення:

$$\begin{aligned} \Psi^j &= h^2 \sum_{k=1}^{\infty} \operatorname{Re}\{\delta(\mu_k, \nu_j)\{a_k^j I_0(\beta_k r) + d_k^j K_0(\beta_k r)\} \cos(\mu_k \gamma)\} + \sum_{m=0}^1 \Psi_j^m, \\ \Phi^j &= h \sum_{k=1}^{\infty} \operatorname{Re}\{\{a_k^j I_0(\beta_k r) + d_k^j K_0(\beta_k r)\} \sin(\mu_k \gamma)\} - \frac{\sigma_0^j}{E_j} z, \quad j = \overline{1, 2}, \end{aligned} \quad (7)$$

де  $d_k^1 = 0$ ;  $\Psi_j^0(r, z) = \frac{1-\nu_j}{2E_j} \sigma_0^j (r^2 - 2z^2)$ ;  $\Psi_2^1(r, z) = -\frac{1}{2G_2} \sigma_1^2 R_1^2 \ln(r)$ ;  $\Psi_1^1 = 0$ ;  $a_k^j$ ,

$d_k^j$  – комплексні, а  $\sigma_m^j$  – дійсні коефіцієнти;  $I_n(r)$ ,  $K_n(r)$  – відповідно функції Бесселя і Макдональда [9];  $\beta_k = \mu_k / h$ ;  $\mu_k$ ,  $\operatorname{Re}(\mu_k) > 0$  – комплексні корені рівняння  $\sin(2\mu) + 2\mu = 0$ ;  $\delta(\mu, \nu_j) = -2(1-\nu_j)/\mu - \operatorname{tg}(\mu)$ ,  $j = \overline{1, 2}$ .

Розраховуючи напружено-деформований стан двошарового циліндра, обмежимося у співвідношеннях (7) першими  $N$  членами ряду за індексом  $k$  і всіма функціями, які відповідають нульовому власному значенню, та позначимо скінченні суми рядів  $\Phi_{j,N}$ ,  $\Psi_{j,N}$ . Підставимо функції  $\Phi_{j,N}$ ,  $\Psi_{j,N}$  у співвідношення (5), (6) і виразимо переміщення та напруження у вигляді скінченних рядів, після внесення яких в умови (1), (3), (4) одержимо систему зі шести рівнянь, коефіцієнти якої залежать тільки від змінної  $\gamma$ :

$$\sum_{k=1}^M c_k A_k^m(\gamma) = P_m(\gamma), \quad m = \overline{1, 6}, \quad \gamma \in [-1, 1], \quad (8)$$

де

$$M = 6N + 3, \quad c_{k+(2j-2)N} = \operatorname{Re} a_k^j, \quad c_{k+(2j-1)N} = \operatorname{Im} a_k^j, \quad j = \overline{1,3}, \quad k = \overline{1,N};$$

$$c_{6N+1} = \sigma_0^1, \quad c_{6N+2+m} = \sigma_m^2, \quad m = \overline{0,1};$$

$$A_{k+2jN}^m = \operatorname{Re} V_{j,k}^m(\gamma), \quad A_{k+N+2jN}^m = -\operatorname{Im} V_{j,k}^m(\gamma), \quad j = \overline{0,2}, \quad k = \overline{1,N}, \quad m = \overline{1,6};$$

$$V_{j-1,k}^1 = (-1)^j \mu_k [\gamma \sin(\mu_k \gamma) + \delta(\mu_k, j) \cos(\mu_k \gamma)] I_1(\beta_k R_1), \quad j = \overline{1,2};$$

$$V_{2,k}^1 = -\mu_k [\gamma \sin(\mu_k \gamma) + \delta(\mu_k, 2) \cos(\mu_k \gamma)] K_1(\beta_k R_1),$$

$$V_{j-1,k}^2 = (-1)^j [\mu_k \gamma \cos(\mu_k \gamma) - [(3-4v_j) + \mu_k \delta(\mu_k, j)] \sin(\mu_k \gamma)] I_1(\beta_k R_1), \quad j = \overline{1,2};$$

$$V_{2,k}^2 = \{\mu_k \gamma \cos(\mu_k \gamma) - [(3-4v_2) + \mu_k \delta(\mu_k, j)] \sin(\mu_k \gamma)\} K_0(\beta_k R_1),$$

$$V_{0,k}^3 = -k_1 \{U_2(\beta_k, R_1) \gamma \sin(\mu_k \gamma) + [\delta(\mu_k, 1) U_2(\beta_k, R_1) - 2v_1 \mu_k I_0(\beta_k R_1)] \cos(\mu_k \gamma)\},$$

$$V_{1,k}^3 = U_2(\beta_k, R_1) \gamma \sin(\mu_k \gamma) + [\delta(\mu_k, 2) U_2(\beta_k, R_1) - 2v_2 \mu_k I_0(\beta_k R_1)] \cos(\mu_k \gamma),$$

$$V_{2,k}^3 = Q_2(\beta_k, R_1) \gamma \sin(\mu_k \gamma) + [\delta(\mu_k, 2) U_2(\beta_k, R_1) - 2v_2 \mu_k K_0(\beta_k R_1)] \cos(\mu_k \gamma),$$

$$V_{0,k}^4 = -k_1 \mu_k \{\mu_k \gamma \cos(\mu_k \gamma) - [(1-2v_1) + \mu_k \delta(\mu_k, 1)] \sin(\mu_k \gamma)\} I_1(\beta_k R_1),$$

$$V_{1,k}^4 = \mu_k [\mu_k \gamma \cos(\mu_k \gamma) - [(1-2v_2) + \mu_k \delta(\mu_k, 2)] \sin(\mu_k \gamma)] I_1(\beta_k R_1),$$

$$V_{2,k}^4 = -\mu_k [\mu_k \gamma \cos(\mu_k \gamma) - [(1-2v_2) + \mu_k \delta(\mu_k, 2)] \sin(\mu_k \gamma)] K_1(\beta_k R_1),$$

$$V_{1,k}^5 = U_2(\beta_k, R_2) \gamma \sin(\mu_k \gamma) + [\delta(\mu_k, 2) U_2(\beta_k, R_2) - 2v_2 \mu_k I_0(\beta_k R_2)] \cos(\mu_k \gamma),$$

$$V_{2,k}^5 = Q_2(\beta_k, R_2) \gamma \sin(\mu_k \gamma) + [\delta(\mu_k, 2) U_2(\beta_k, R_2) - 2v_2 \mu_k K_0(\beta_k R_2)] \cos(\mu_k \gamma),$$

$$V_{1,k}^6 = \mu_k [\mu_k \gamma \cos(\mu_k \gamma) - [(1-2v_2) + \mu_k \delta(\mu_k, 2)] \sin(\mu_k \gamma)] I_1(\beta_k R_2),$$

$$V_{2,k}^6 = -\mu_k [\mu_k \gamma \cos(\mu_k \gamma) - [(1-2v_2) + \mu_k \delta(\mu_k, 2)] \sin(\mu_k \gamma)] K_1(\beta_k R_2),$$

$$V_{0,k}^5 = 0, \quad V_{0,k}^6 = 0, \quad k = \overline{1,N}, \quad k_1 = \frac{G_1}{G_2};$$

$$U_2(\beta_k, r) = \mu_k I_0(\beta_k r) - \frac{h}{r} I_1(\beta_k r), \quad Q_2(\beta_k, r) = \mu_k K_0(\beta_k r) + \frac{h}{r} K_1(\beta_k r),$$

$$A_{6N+j}^1 = (-1)^j \frac{1-v_j}{E} R_1, \quad j = \overline{1,2}, \quad A_{6N+3}^1 = -\frac{1}{2G_2} R_1;$$

$$A_{6N+j}^2 = -(-1)^j \frac{2v_j}{E_j} z, \quad j = \overline{1,2}, \quad A_{6N+3}^2 = 0;$$

$$A_{6N+1}^3 = -k_1 \frac{1}{2G_1}, \quad A_{6N+2}^3 = \frac{1}{2G_2}, \quad A_{6N+3}^3 = \frac{1}{2G_2};$$

$$A_{6N+1}^4 = 0, \quad A_{6N+2}^4 = 0, \quad A_{6N+3}^4 = 0, \quad A_{6N+1}^5 = 0,$$

$$A_{6N+2}^5 = \frac{1}{2G_2}, \quad A_{6N+3}^5 = \frac{1}{2G_2} \frac{R_1^2}{R_2^2};$$

$$A_{6N+1}^6 = 0, \quad A_{6N+2}^6 = 0, \quad A_{6N+3}^6 = 0; \quad P_m(\gamma) = 0, \quad m = \overline{1,4};$$

$$P_5(\gamma) = \frac{\sigma_1(h\gamma)}{2G_2}, \quad P_6(\gamma) = \frac{\tau_1(h\gamma)}{2G_2}.$$

Використовуючи аналітично-числову методику [7, 10, 11], розв'язання системи лінійних рівнянь (8), коефіцієнти якої задані на циліндричній межі матеріалів і зовнішній поверхні, зведемо до пошуку мінімуму такої узагальненої квадратичної форми:

$$\Omega_N = \sum_{k,j=1}^M c_k c_j W_{kj} - 2 \sum_{k=1}^M c_k V_k + P^2, \quad (9)$$

де

$$W_{kj} = \sum_{m=1}^6 \int_0^1 A_k^m(\gamma) A_j^m(\gamma) d\gamma, \quad W_{kj} = W_{jk}, \quad k, j = \overline{1, M};$$

$$V_k = \sum_{m=1}^6 \int_0^1 A_k^m(\gamma) P_m(\gamma) d\gamma, \quad k = \overline{1, M}; \quad P^2 = \int_0^1 \{P_5(\gamma)^2 + P_6(\gamma)^2\} d\gamma,$$

$\|f(\gamma)\| = \sqrt{\int_{-1}^1 f^2(\gamma) d\gamma}$  – норма у метриці  $L_2[-1,1]$ . Оскільки коефіцієнти системи рівнянь (8) виражено через тригонометричні і функції Бесселя, то всі інтеграли у співвідношеннях (9) знайдено в аналітичному вигляді.

Мінімум узагальненої квадратичної форми (9) позначимо  $F(N)$ , а змінні  $c_k$ , на яких він досягається – як  $c_k^N$ . Обчислимо мінімум  $F(N)$  і за знайденими змінними  $c_k^N$ ,  $k = \overline{1, M}$ , визначимо функції переміщень (7). Розв'язок осесиметричної крайової задачі (1)–(4) описують функції переміщень (7), через які за формулами (5), (6) обчислюють переміщення і напруження.

Нехай до середини бічної поверхні двошарового циліндра прикладені обтискальні локальні (в напрямку осьової координати) нормальні навантаження з чітко вираженим максимумом, які описують залежності

$$\sigma_g(h\gamma) = \sigma_M f(\gamma); \quad f(\gamma) = 0, \quad \gamma \notin [-\delta, \delta], \quad (10)$$

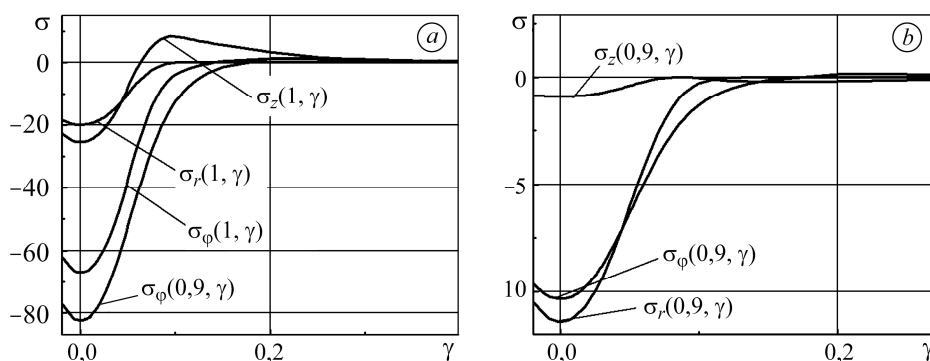
де

$$f(\gamma) = \begin{cases} 2[\delta - |\gamma|]^2 / \delta^2, & \gamma \in [-\delta, -\delta/2], \quad \gamma \in [\delta/2, \delta], \\ [\delta^2 - 2\gamma^2] / \delta^2, & \gamma \in [-\delta/2, \delta/2], \end{cases}$$

$\sigma_M = A\sigma$ ;  $|A|$  – максимальне безрозмірне навантаження;  $\sigma$  – одиниця розмірності напружень;  $\delta$  – безрозмірна довжина проміжків, на яких функція  $f(\gamma)$  зростає від нуля до одиниці, або, навпаки, спадає. Торці шарів циліндра вільні від навантажень.

На рисунку зображено розподіл напружень у двошаровому циліндрі під дією навантажень (10) для таких значень параметрів:  $R_2/R = 10$ ,  $R_1/R = 9$ ,  $h/R_2 = 5$ ,  $R_0 = 0$ ,  $E_2/E_1 = 10$ ,  $\nu_1 = 0,18$ ,  $\nu_2 = 0,25$ ,  $A = -20$ ,  $\delta = 2/A$ .

Констатуємо, що на відміну від суцільного одношарового циліндра, колові напруження у двошаровому суттєво перевищують радіальні і досягають максимуму у верхньому шарі на поверхні контакту шарів, де приблизно в чотири рази більші за радіальні; у внутрішньому шарі колові і радіальні напруження значно менші, ніж у верхньому.



Розподіл напружень на поверхнях зовнішнього шару (а)  
та на поверхні контакту у внутрішньому шарі циліндра (b).

Distribution of tensions on the surfaces of external layer (a)  
and the contact surface in the internal layer of a cylinder (b).

Розрахунки підтвердили збіжність і стійкість розробленого аналітично-числового методу. Точність задоволення крайових умов і умов контакту шарів у двошаровому циліндрі залежить від мінімуму узагальненої квадратичної форми (9), і, якщо він збігається до нуля за зростання кількості членів суми ряду  $N$ , то знайдений наближений розв'язок збігається до точного. Похибки визначення напружень у середині шарів циліндра менші, ніж розраховані на бічній поверхні або поверхні контакту.

### ВИСНОВКИ

Виявлено, що осесиметричний напружений стан двошарового циліндра з ненавантаженими торцями описують власні функції, які визначають нульові та ненульові власні значення. Розроблена ефективна методика апроксимації умов ідеального контакту прилеглих шарів і крайових умов скінченною кількістю власних функцій. Точність задоволення крайових і контактних умов суттєво залежить як від неперервності розподілу навантажень, так і неперервності їх першої похідної. Для навантажень із неперервною похідною точність задоволення крайових умов у  $10\div 100$  разів вища, ніж із розривною.

Розрахунок осесиметричного напружено-деформованого стану двошарового циліндра зведено до шести рівнянь, коефіцієнти яких залежать тільки від осьової змінної, а їх розв'язання – до обчислення мінімуму узагальненої квадратичної форми. Встановлено, що числове значення її мінімуму одночасно визначає похибки задоволення всіх крайових умов і умов контакту шарів; нормальні напруження на бічній поверхні в межах дії локальних навантажень мають таку саму форму, як і навантаження, а їх максимальні значення суттєво залежать від відношення пружних і геометричних характеристик шарів циліндра.

**РЕЗЮМЕ.** Предложен аналитико-численный компьютерный метод решения осесимметричных краевых задач теории упругости для двухслойных цилиндрических тел. Компоненты вектора перемещений и тензора напряжений представлены в виде рядов, коэффициенты которых определяют построенные собственные функции. Разработана компьютерная методика решения краевых задач для двухслойного цилиндра. Установлены критерии, при выполнении которых построенное приближенное решение совпадает с точным. Найдены качественные и количественные закономерности поведения компонент напряженно-деформированного состояния двухслойного цилиндра при воздействии локальных нагрузок с четко выраженным максимумом.

**SUMMARY.** An efficient analytical-numerical method for solving axisymmetric boundary value problems of the theory of elasticity for multilayer cylindrical bodies is proposed. The com-

ponents of the displacement vector and the stress tensor are represented in the form of series, which are determined by the constructed eigenfunctions. A computer method for the analytic-numerical solution of boundary value problems for a two-layer cylinder is developed. The convergence and existence conditions for the numerical solutions to the boundary-value problems are established. Qualitative and quantitative patterns of behavior of the components of the stress-strain state of a two-layer cylinder during under local loads with clearly expressed maximum are found.

1. *Tarn J.-Q. and Wang, Y.-M.* Laminated composite tubes under extension, torsion, bending, shearing and pressuring: a state space approach // *Int. J. Solids Struct.* – 2001. – **38**. – P. 9053–9075.
2. *Tsukrov I. and Drach B.* Elastic deformation of composite cylinders with cylindrically orthotropic layers // *Int. J. Solids Struct.* – 2010. – **47**. – P. 25–33.
3. *Chatzigeorgiou G., Charalambakis N., and Murat F.* Homogenization problems of a hollow cylinder made of elastic materials with discontinuous properties // *Int. J. Solids Struct.* – 2008. – **45**. – P. 5165–5180.
4. *Ревенко В. П.* Визначення тривимірного напружено-деформованого стану товстостінного двохшарового циліндра // *Фіз.-хім. механіка матеріалів.* – 2014. – **50**, № 3. – С. 53–58. (*Revenko V. P.* Determination of the three-dimensional stress-strain state of a thick-walled two-layer cylinder // *Materials Science.* – 2014. – **50**, № 3. – P. 369–376.)
5. *Саврук М. П., Онишко Л. Й., Сенюк М. М.* Плоска динамічна осесиметрична задача для порожнистого циліндра // *Фіз.-хім. механіка матеріалів.* – 2008. – **44**, № 1. – С. 7–14. (*Savruk M. P., Onyshko L. I., Senyuk M. M.* A plane dynamic axisymmetric problem for a hollow cylinder // *Materials Science.* – 2008. – **44**, № 1. – P. 1–9.)
6. *Yin X. C. and Yue Z. Q.* Transient plane-strain response of multilayered elastic cylinders to axisymmetric impulse // *J. Appl. Mech.* – 2002. – **69**, № 6. – P. 825–835.
7. *Ревенко В. П.* О решении трехмерных уравнений линейной теории упругости // *Прикл. механика.* – 2009. – **45**, № 7. – С. 52–65.
8. *Лурье А. И.* Теория упругости. – М.: Наука, 1970. – 940 с.
9. *Корн Г., Корн Т.* Справочник по математике для научных работников и инженеров. Определения, теоремы, формулы. – М.: Наука, 1974. – 830 с.
10. *Ревенко В. П.* Дослідження напруженого стану навантаженого скінченного циліндра з використанням власних функцій // *Прикл. проблеми механіки і математики.* – 2009. – Вип. 7. – С. 183–190.
11. *Ревенко В. П.* Дослідження тривимірного напруженого стану в пружній пластині з круговим отвором // *Фіз.-хім. механіка матеріалів.* – 2009. – **45**, № 5. – С. 71–76. (*Revenko V. P.* Investigation of the three-dimensional stressed state in elastic plates with circular holes // *Materials Science.* – 2009. – **45**, № 5. – P. 688–695.)

Одержано 13.06.2017